

II-10 円弧アーチの振動に関する一考察

九州大学 教授 山崎徳也
九州大学 大学院○崎山毅

概要 円弧アーチの軸面内振動問題に関するものは J. P. Den Hartog やエネルギー法によるものがある。中心角に对应するヒンジアーチ¹⁾は固定アーチの最低振動数を求められており、また F. W. Walther²⁾は微分方程式を用いて両端ヒンジの場合および両端固定の場合の固有振動数および振動モードを厳密に求めている。本研究は円弧アーチ部材の振動挙角式の誘導と終局目的とする一連の考察の基礎的吟味として、Walther²⁾の厳密解がとの複雑さのため実用に供し難い実を改良せんと試みたものであり中心角 20°~120° の部材に限られたが、本法によれば最低振動数の半分から高次の振動数及びその振動モードも比較的簡単に求められる。なお理論の簡明化のためにアーチ部材の断面は一定で、軸半径にくらべて十分小さくまた曲げ振動に付随しては中立軸の伸縮はないものと仮定する。

記号 本文において用いる記号は次のとおりである。

Y: 円周方向の極座標

X: 部材の単位長に働く半径方向外力

Z: " 切線 " "

M: 振動中の部材の任意断面の曲げモーメント

N: " 軸力 "

Q: " せん断力 "

v: " 切線方向変位 "

w: " 半径 " "

φ: " 角変位 "

2β: 円弧アーチの中心角

P: " 単位長当たりの質量 "

ω: 固有振動数

EI: 曲げ剛性

$$\lambda^+ = \omega^2 \rho R^4 / EI$$

$$\bar{M} = M \sin \omega t$$

$$\bar{N} = N \sin \omega t$$

$$\bar{Q} = Q \sin \omega t$$

$$v = V \sin \omega t$$

$$w = W \sin \omega t$$

$$\phi = \Phi \sin \omega t$$

$$R: 円弧アーチの軸半径$$

I 面内荷重をうける円弧部材のための微分方程式

円弧アーチ部材が面内荷重をうける場合の応力の平衡条件式は半径および切線方向の力のつもりないと曲げモーメントのつもりを考えて次式となる。

$$\frac{\partial \bar{Q}}{\partial \varphi} + \bar{N} + X \cdot R = 0 \quad \frac{\partial \bar{N}}{\partial \varphi} - \bar{Q} + Z \cdot R = 0 \quad \frac{\partial \bar{M}}{\partial \varphi} - \bar{Q} \cdot R = 0 \quad (1)$$

また曲げモーメント M 角変位 φ と切線半径方向変位 v, w との関係は曲り梁の基礎理論より次式がえられる。

$$M = -\frac{EI}{R^2} \left(\frac{\partial^2 w}{\partial \varphi^2} + \frac{\partial^2 v}{\partial \varphi^2} \right) \quad \phi = \frac{1}{R} \left(\frac{\partial w}{\partial \varphi} + v \right) \quad (2)$$

つきに曲げ振動をうけるアーチ部材の中立軸は伸縮しないとする仮定より次式を得る。

$$w = \frac{\partial v}{\partial \varphi} \quad (3)$$

式(1)～式(3)より切線方向変位 v に関する次の微分方程式が求まる。

$$\frac{EI}{R^4} \left(\frac{\partial^4 v}{\partial \varphi^4} + 2 \frac{\partial^3 v}{\partial \varphi^3} + \frac{\partial^2 v}{\partial \varphi^2} \right) = \frac{\partial X}{\partial \varphi} - Z \quad (4)$$

II 円弧アーチの自由振動の微分方程式

自由振動時に部材に働く荷重は慣性力のみであるからアーチ部材の単位長に働く半径方向切線方向の外力 X 、 Z は次式で与えられる。

$$X = -P \frac{\partial^2 w}{\partial x^2} \quad Z = -P \frac{\partial^2 w}{\partial z^2} \quad (5)$$

式(5)と式(4)に代入して次式を得る。

$$\frac{EI}{R^3} \left(\frac{\partial^4 v}{\partial \varphi^4} + 2 \frac{\partial^4 v}{\partial \varphi^2} + \frac{\partial^2 v}{\partial \varphi^2} \right) + P \frac{\partial^2}{\partial z^2} \left(\frac{\partial^2 v}{\partial \varphi^2} - v \right) = 0 \quad (6)$$

ここで $v = V(\varphi) \cdot \sin \omega t$ とおき式(6)に代入すれば円弧アーチ部材の自由振動の規準函数 V に関する微分方程式が次の式とく得られる。

$$\frac{d^6 V}{d \varphi^6} + 2 \frac{d^4 V}{d \varphi^4} + (1 - \lambda^4) \frac{d^2 V}{d \varphi^2} + \lambda^4 \cdot V = 0 \quad \lambda^4 = \frac{\omega^2 P R^4}{EI} \quad (7)$$

III 規準函数 $V(\varphi)$ に関する微分方程式の解

式(7)の解は $\lambda^4 > 17.64$ の場合は

$$V(\varphi) = C_1 \cosh \lambda \varphi + C_2 \sinh \lambda \varphi + C_3 \cosh b \varphi + C_4 \sinh b \varphi + C_5 \cos c \varphi + C_6 \sin c \varphi \quad (8)$$

表中示す定数 a, b, c は次式を満足すべきものである。

$$a^6 + 2a^4 + (1 - \lambda^4)a^2 + \lambda^4 = 0 \quad (a > 0)$$

$$b^6 + 2b^4 + (1 - \lambda^4)b^2 + \lambda^4 = 0 \quad (b > 0)$$

$$c^6 - 2c^4 + (1 - \lambda^4)c^2 - \lambda^4 = 0 \quad (c > 0)$$

一方 Den Haltog ピエスルギー法によると表した λ^4 の値によれば円弧アーチ部材の中心角が 2 ハンジアーチで約 145° 、固定アーチで約 180° 以下となるれば常に $\lambda^4 > 17.64$ は成立するといわれかかる。

したがって本研究における取扱い円弧アーチ部材を中心角 $20^\circ \sim 120^\circ$ に限定すれば規準函数 V

は常に式(8)で与えられることがなることはもちろんあり、さらに a, b, c と入との関係が図-1 の式とくならニヤドリ次の式とく近似するといひべき。

$$a \approx 1 \quad b \approx 1 \quad c \approx 1$$

$$V(\varphi) \approx C_1 \cosh \lambda \varphi + C_2 \sinh \lambda \varphi + C_3 \cosh \beta \varphi + C_4 \sinh \beta \varphi + C_5 \cos \lambda \varphi + C_6 \sin \lambda \varphi \quad (9)$$

IV 振動方程式と振動モード

II ヒンジアーチの対称振動

II ヒンジアーチの対称振動の境界条件は

$$\varphi = 0 : V = W = M = 0 \quad \text{すなはち } V(0) = V'(0) = V''(0) = 0$$

$$\varphi = \beta : V = W = Q = 0 \quad \text{すなはち } V(\beta) = V'(\beta) = V''(\beta) = 0$$

これらの条件より次の直立方程式を得る。

$$C_1 + C_3 + C_5 = 0 \quad (i)$$

$$\lambda C_2 + C_4 + \lambda C_6 = 0 \quad (ii)$$

$$\lambda^3 C_2 + C_4 - \lambda^3 C_6 = 0 \quad (iii)$$

$$(C_1 \cosh \lambda \beta + C_2 \sinh \lambda \beta) + (C_3 \cosh \beta + C_4 \sinh \beta) + (C_5 \cos \lambda \beta + C_6 \sin \lambda \beta) = 0 \quad (iv)$$

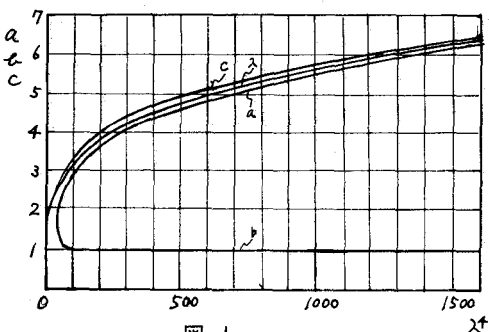


図-1

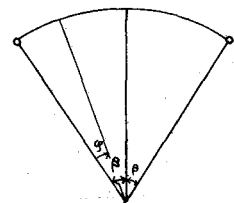


図-2

$$\lambda^2(C_1 \cosh \lambda \beta + C_2 \sinh \lambda \beta) + (C_3 \cosh \beta + C_4 \sinh \beta) - \lambda^2(C_5 \cos \lambda \beta + C_6 \sin \lambda \beta) = 0 \quad (ii)$$

$$\lambda^4(C_1 \cosh \lambda \beta + C_2 \sinh \lambda \beta) + (C_3 \cosh \beta + C_4 \sinh \beta) + \lambda^4(C_5 \cos \lambda \beta + C_6 \sin \lambda \beta) = 0 \quad (iii)$$

(ii)(iii)式を連立すれば $C_1, C_2, C_3, C_4, C_5, C_6$ は

$$C_1 \cosh \lambda \beta + C_2 \sinh \lambda \beta = 0 \quad C_3 \cosh \beta + C_4 \sinh \beta = 0 \quad C_5 \cos \lambda \beta + C_6 \sin \lambda \beta = 0 \quad (iv)$$

(iv)の各式を(1)に代入して C_1, C_3, C_5 を消去して (ii)(iii)と組合せで C_2, C_4, C_6 は得られる連立方程式を求めれば同時に λ^2 は C_2, C_4, C_6 が存在するための条件となり2次式を得る。

$$(\lambda^2+1) \tanh \lambda \beta - 2\lambda^3 \tanh \beta + (\lambda^2-1) \tan \lambda \beta = 0 \quad (v)$$

すなわち式(v)が2ヒンジアーチの対称振動の振動数方程式である。さらには $V(\varphi)$ を求めれば

$$V(\varphi) = K \left[-\frac{\lambda^2+1}{\lambda^2-1} (\tanh \lambda \beta \cdot \cosh \varphi - \sinh \lambda \varphi) + \frac{2\lambda^3}{\lambda^2-1} (\tanh \beta \cdot \cosh \varphi - \sinh \varphi) - (\tan \lambda \beta \cdot \cos \lambda \varphi - \sin \lambda \varphi) \right]$$

[2] 2ヒンジアーチの逆対称振動

境界条件は $V(0) = W(0) = M(0) = 0$ の他に $\varphi = \beta$ において半径方向の変位がなく切線方向の変位が最大となる弾性曲線の変曲点となるなどの条件どう

$$V(\beta) = V'(\beta) = W''(\beta) = 0 \quad \text{すなわち} \quad V'(\beta) = V''(\beta) = V^{(5)}(\beta) = 0$$

たゞい = の場合 $W(\varphi)$ は φ の微小項 Σ を含めた厳密式

$$W(\varphi) = \frac{dV}{d\varphi} - \frac{\alpha}{1+\alpha} \left(\frac{d^3V}{d\varphi^3} + \frac{d^5V}{d\varphi^5} \right) \quad \alpha = \left(\frac{r}{R} \right)^2 \quad r: 2\text{次半径}$$

を用いた。次にその結果と不ず。

$$(\lambda^2+1) \coth \lambda \beta - 2\lambda^3 \coth \beta + (\lambda^2-1) \cot \lambda \beta = 0$$

$$V(\varphi) = K \left[-\frac{\lambda^2+1}{\lambda^2-1} (\coth \lambda \beta \cdot \cosh \lambda \varphi - \sinh \lambda \varphi) + \frac{2\lambda^3}{\lambda^2-1} (\coth \beta \cdot \cosh \varphi - \sinh \varphi) + (\cot \lambda \beta \cdot \cos \lambda \varphi - \sin \lambda \varphi) \right]$$

[3] 固定アーチの対称振動

境界条件と結果の表示せば次のよう。

$$\varphi = 0 : V = W = \bar{W} = 0 \quad \therefore V(0) = V'(0) = V''(0) = 0$$

$$\varphi = \beta : V = \bar{W} = Q = 0 \quad \therefore V(\beta) = V''(\beta) = V^{(4)}(\beta) = 0$$

$$(\lambda^2+1) \coth \lambda \beta - 2\lambda^3 \coth \beta + (\lambda^2-1) \cot \lambda \beta = 0$$

$$V(\varphi) = K \left[\frac{\lambda^2+1}{2\lambda^2} (\coth \lambda \beta \cdot \sinh \lambda \varphi - \cosh \lambda \varphi) - (\coth \beta \cdot \sinh \varphi - \cosh \varphi) + \frac{\lambda^2-1}{2\lambda^2} (\cot \lambda \beta \cdot \sin \lambda \varphi - \cos \lambda \varphi) \right]$$

[4] 固定アーチの逆対称振動

境界条件と結果の表示せば次のよう。

$$\varphi = 0 : V = W = \bar{W} = 0 \quad \therefore V(0) = V'(0) = V''(0) = 0$$

$$\varphi = \beta : W = V' = \bar{W} = 0 \quad \therefore V'(\beta) = V''(\beta) = V^{(4)}(\beta) = 0$$

$$(\lambda^2+1) \tanh \lambda \beta - 2\lambda^3 \tanh \beta + (\lambda^2-1) \tan \lambda \beta = 0$$

$$V(\varphi) = K \left[\frac{\lambda^2+1}{2\lambda^2} (\tanh \lambda \beta \cdot \sinh \lambda \varphi - \cosh \lambda \varphi) - (\tanh \beta \cdot \sinh \varphi - \cosh \varphi) - \frac{\lambda^2-1}{2\lambda^2} (\tan \lambda \beta \cdot \sin \lambda \varphi - \cos \lambda \varphi) \right]$$

V数値計算

以上求めた4種の振動数方程式を用いて $20^\circ \sim 120^\circ$ の中心角をもつ2ヒンジアーチおよび固定アーチの各次数の固有振動数を知道了とする。

アーチの中心角に対応する低次の自由振動の入力を求めれば図-3のとくなら。

また中心角が 60° のときの振動モードを一例として図示すれば図-4となる。

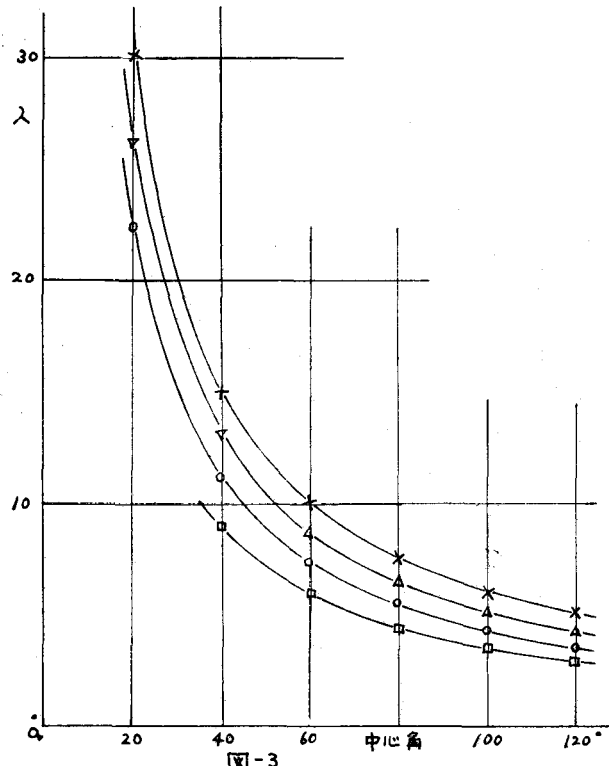


図-3

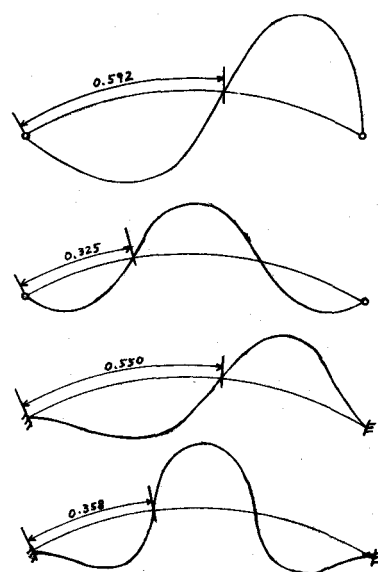


図-4

結語

本法の振動数方程式によつて求めた最低次の入値とエネルギー法による Den Haltag のそれと比較すれば中心角の小さい場合は一致する。両者の差異が最も大きいある中心角 120° のときには本法による入値はエネルギー法による入値よりも両端ヒンジで 6.8% 、両端固定で 3.8% 大きい。途中中心角が大きくなるにつれて差異が大きくなるのは式(7)の近似性に由来するものである(図-1, 3 参照)。この程度の差異があれば实用上ほとんど支障ないものと考えられ式(8)を式(9)で近似できるとの確証に帰する。この近似により計算量はいちじるしく軽減されさらに円弧部材の振動撓角式の誘導も可能となるのである。

参考文献

- (1) F.W. Walther, Schwingungszahlen und Schwingungsformen von Kreisbogenträgern
Ing. Arch. Bd 5 (1934) S 429 ~ 449
- (2) 松平精 基礎振動学 昭和28年 P. 258 ~ 262.